

文章编号: 1000-324X(2018)01-0087-06

DOI: 10.15541/jim20170144

(1-x)K_{0.48}Na_{0.52}NbO₃-xBi_{0.45}Nd_{0.05}(Na_{0.92}Li_{0.08})_{0.5}ZrO₃ 无铅压电陶瓷相结构及压电性能

赵林¹, 马健¹, 张俊¹, 吴波², 肖定全³

(1. 西南民族大学 电气信息工程学院, 成都 610041; 2. 成都信息工程大学, 信息材料及器件化应用四川省高校重点实验室, 成都 610225; 3. 四川大学 材料科学与工程学院, 成都 610064)

摘要: 为了在获得较高压电性能的同时又不大大降低陶瓷的居里温度(T_C), 设计和制备了 Bi_{0.45}Nd_{0.05}(Na_{0.92}-Li_{0.08})_{0.5}ZrO₃改性的 K_{0.48}Na_{0.52}NbO₃系无铅压电陶瓷((1-x)KNN-xBNNLZ), 研究了 BNNLZ 含量对 KNN 基无铅压电陶瓷相结构和电学性能的影响。研究结果表明, 所有陶瓷样品均具有较高的居里温度 $T_C(>300^\circ\text{C})$ 。随着 BNNLZ 含量的增加, 陶瓷的正交-四方相变温度(T_{O-T})不断向低温方向移动, 而三方-正交相变温度(T_{R-O})不断向高温方向移动, 最终在陶瓷中形成了三方-四方(R-T)共存相, R-T 共存相处于 $0.05 < x < 0.07$ 范围。BNNLZ 的加入引起陶瓷相结构的演化改变导致压电常数(d_{33})、介电常数(ϵ_r)、剩余极化强度 (P_r)和机电耦合系数(k_p)都先增大后减小, 当 $x=0.06$ 时陶瓷具有最佳压电性能: $d_{33}=313 \text{ pC/N}$, $k_p=42\%$, $P_r=25.48 \mu\text{C/cm}^2$, $\epsilon_r=1353$, $\tan\delta=2.5\%$, $T_C=327^\circ\text{C}$ 。

关键词: KNN; 压电性能; 相界构建

中图分类号: TM221 文献标识码: A

Phase Structure and Piezoelectric Property of (1-x)K_{0.48}Na_{0.52}NbO₃-xBi_{0.45}Nd_{0.05}(Na_{0.92}Li_{0.08})_{0.5}ZrO₃ Lead-free Piezoceramics

ZHAO Lin¹, MA Jian¹, ZHANG Jun¹, WU Bo², XIAO Ding-Quan³

(1. College of Electrical & Information Engineering, Southwest Minzu University, Chengdu 610041, China; 2. Sichuan Province Key Laboratory of Information Materials and Devices Application, Chengdu University of Information Technology, Chengdu 610225, China; 3. School of Materials Science, Sichuan University, Chengdu 610064, China)

Abstract: To enhance the piezoelectric properties and maintain relatively higher Curie temperature (T_C), (1-x)K_{0.48}Na_{0.52}NbO₃-x Bi_{0.45}Nd_{0.05}(Na_{0.92}Li_{0.08})_{0.5}ZrO₃ ((1-x) KNN-xBNNLZ) ceramics were prepared by conventional solid-state method. The effects of BNNLZ content on the phase structure and electrical properties of the ceramics were investigated in details. The results show that all ceramic samples exhibit higher $T_C(>300^\circ\text{C})$. With the increase of BNNLZ content, both orthorhombic-tetragonal phase transition temperature (T_{O-T}) and rhombohedral-orthorhombic phase transition temperatures (T_{R-O}) shift to room temperature simultaneously, and finally the R-T phase coexistence is constructed near room temperature in the compositions range of $0.05 < x < 0.07$. The phase transitions of the ceramics caused by BNNLZ addition lead to values of d_{33} , ϵ_r , P_r , and k_p increase firstly and then decrease. The ceramic with $x=0.06$ exhibits optimal properties: $d_{33}=313 \text{ pC/N}$, $k_p=42\%$, $P_r=25.48 \mu\text{C/cm}^2$, $\epsilon_r=1353$, $\tan\delta=2.5\%$, together with a higher T_C of 327°C .

Key words: potassium-sodium niobate (KNN); piezoelectric properties; phase boundary construction

收稿日期: 2017-03-30; 收到修改稿日期: 2017-05-20

基金项目: 西南民族大学中央高校基本科研业务费专项资金项目(2015NZYQN48)

Fundamental Research Funds for the Central Universities, Southwest Minzu University (2015NZYQN48)

作者简介: 赵林(1983-), 男, 硕士, 实验师. E-mail: zhaolin-111@163.com

通讯作者: 马健, 副教授. E-mail: majian33@hotmail.com

纯铌酸钾钠(KNN)基无铅压电陶瓷是室温铁电体KNbO₃和反铁电体NaNbO₃形成的固溶体，其压电常数(d_{33})约为80 pC/N，居里温度(T_C)约为410℃^[1-2]。近年来，为了获得可与传统铅基压电陶瓷(PZT)相比拟的压电性能，国内外的研究者们对KNN基无铅压电陶瓷展开了大量的改性研究^[1-6]。与诸多改性研究相比，通过添加掺杂物在室温附近构建多相共存对KNN基无铅压电陶瓷的压电性能提高最为显著^[4]。研究者们利用此方法在室温附近构建正交-四方(O-T)相界^[7-12]，可将KNN陶瓷的压电性能提高3至4倍。此外，通过添加掺杂物把三方-正交(R-O)相变温度(T_{R-O})调至室温附近也能提高KNN陶瓷的压电性能^[13-16]，但和构建O-T相界相比，这种方法对压电性能的提高不大。为了大幅提升KNN陶瓷的压电性能，有研究者将 T_{O-T} 和 T_{R-O} 同时调至室温附近，在KNN陶瓷中构建出类似于PZT体系中的三方-四方(R-T)准同型相界，由此获得的KNN无铅压电陶瓷体系，压电性能均较优异^[17-30]。目前，在构建R-T相改性KNN基无铅压电陶瓷的研究中，Bi_{0.5}M_{0.5}NO₃型化合物是最常用的添加物之一，其中M⁺=Na⁺^[18-19]，(Na_{0.7}K_{0.2}Li_{0.1})^{+[19-20,26]}，[(Na_{0.82}K_{0.18})_{0.95}Pb_{0.05}]^{+[21]}，(Na_{0.82}K_{0.18})^{+[22,29-30]}，Li^{+[23,24]}，Ag^{+[27]}，(Na_{1-w}K_w)^{+[28]}等；N⁴⁺=Ti⁴⁺^[18-19,25]，Zr⁴⁺^[19-30]等。研究发现，在Bi_{0.5}M_{0.5}NO₃中，选Na⁺、K⁺等碱金属离子作为M⁺离子，Bi³⁺与其搭配可以有效降低 T_{O-T} ^[26,28]，选Zr⁴⁺作为N⁴⁺可以有效提升 T_{R-O} ^[20-21,28]，最终 T_{O-T} 和 T_{R-O} 均被调至室温附近，在陶瓷中形成了R-T共存相。另外，在对KNN改性研究中发现压电性能的提升往往以牺牲居里温度为代价^[1-2,4]，而居里温度是陶瓷能够实用化的一个非常重要的指标，所以在构建R-T相大幅提升压电性能的同时，如果能保证 T_C 不大幅下降，将有助于陶瓷实用化。研究表明Li⁺和部分含Li⁺的化合物能够提升KNN陶瓷的 T_C ^[1-2]，所以在Bi_{0.5}M_{0.5}NO₃中用少量的Li⁺取代M⁺不仅能提升 T_C ^[1-2,4]，还能有效降低 T_{O-T} ^[4,20,24]。

综上，选Na⁺作为M⁺离子，选Zr⁴⁺作为N⁴⁺离子，并添加少量的Li⁺取代Na⁺，又考虑到Nd³⁺和Bi³⁺具有相同的价态和相近的离子半径，并且Nd³⁺的添加也能够降低陶瓷的 T_{O-T} ^[31]，其作用与Bi³⁺相同，所以用少量的Nd³⁺取代Bi³⁺，形成不同于常规Bi³⁺/M⁺均为1:1的添加体系，最终本研究设计出Bi_{0.45}Nd_{0.05}(Na_{0.92}Li_{0.08})_{0.5}ZrO₃(简称BNNLZ)添加物来改性K_{0.48}Na_{0.52}NbO₃陶瓷，成功在(1-x)K_{0.48}Na_{0.52}NbO₃-xBi_{0.45}Nd_{0.05}(Na_{0.92}Li_{0.08})_{0.5}ZrO₃陶瓷体系中构建出了R-T共存相，并使陶瓷获得了较为优异的压电性能和较高的居里温度。

1 实验方法

采用传统固相法制备(1-x)KNN-xBNNLZ(x=0, 0.02, 0.03, 0.04, 0.05, 0.06, 0.07)陶瓷。具体如下：按照化学计量比依次称取Na₂CO₃(99.8%)、K₂CO₃(99%)、Li₂CO₃(98%)、Nb₂O₅(99.5%)、Bi₂O₃(99%)、Nd₂O₃(99.9%)、ZrO₂(99%)；将称好的原料放入球磨罐中，以无水乙醇为介质，在球磨罐中滚动球磨24 h；取出烘干后，置于马弗炉中850℃下预烧6 h；在预烧好的粉料中加入适量PVA胶进行造粒，将所造颗粒在10 MPa下干压成φ10 mm×1 mm的圆片；将圆片排胶后，在1100~1140℃下烧结3 h得到陶瓷片；陶瓷片上下两面刷银浆烘干成银电极，室温下在硅油中施加3~4 kV/mm的直流电压极化20 min，静放24 h后测试电学性能。

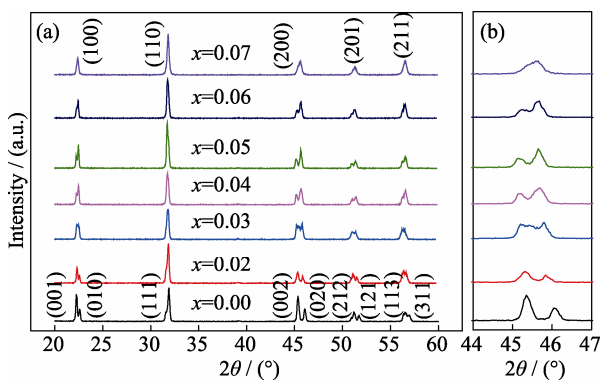
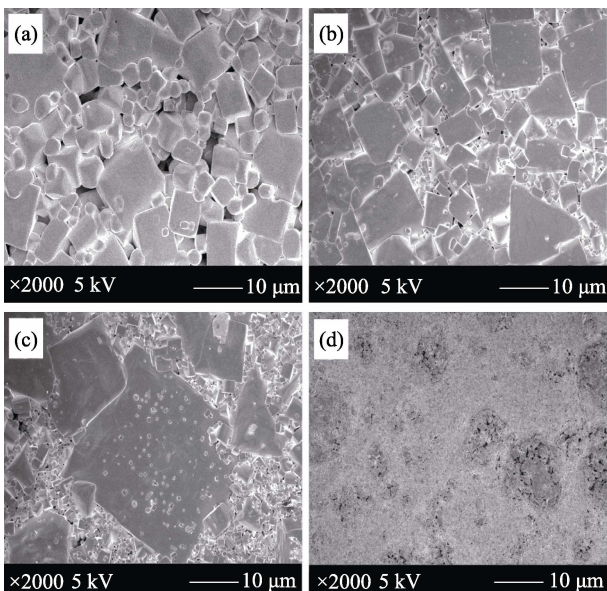
用X射线衍射仪(DX-2700，丹东浩元仪器有限公司)对陶瓷片进行物相分析；用扫描电镜(JSM-5900LV，日本JEOL公司)进行表面形貌观察；用准静态 d_{33} 测量仪(ZJ-3A，中国科学院声学研究所)测定陶瓷样品的压电常数；用HP4294A(美国惠普公司)阻抗分析仪测试陶瓷样品的机电耦合系(k_p)；用E4980A LCR测试仪(美国Agilent公司)测试样品的介温曲线；室温下的介电性能通过Agilent 4294A(美国Agilent公司)数字电桥测试样品的电容C和介电损耗tanδ来表征，其中 ϵ_r 可通过C值换算求出；用Radiant Precision Workstation铁电工作站(美国Radiant公司)测试样品的电滞回线。

2 结果与讨论

2.1 陶瓷的相结构和显微结构

图1(a)为(1-x)KNN-xBNNLZ陶瓷室温下 $2\theta=20^\circ\sim60^\circ$ 的XRD图谱，图1(b)是陶瓷样品室温下 $2\theta=44^\circ\sim47^\circ$ 的XRD放大图谱。从图1(a)中可以看出所有陶瓷样品均具有单一的钙钛矿结构，没有生成杂相。可通过 $2\theta=45^\circ$ 附近衍射峰的劈裂情况来初步判断陶瓷的相结构，当 $x<0.03$ 时， $2\theta=45^\circ$ 附近的劈裂衍射峰为左高右低的双峰，说明当没有BNNLZ掺入或掺入量较少时，KNN陶瓷在室温下以O相为主导；当 $0.03\leqslant x\leqslant 0.07$ 时， $2\theta=45^\circ$ 附近的劈裂衍射峰逐渐演变，左右双峰的相对强度发生改变，并最终有融为单峰的趋势，说明随着BNNLZ含量的增加，整个陶瓷体系的相结构发生了变化。

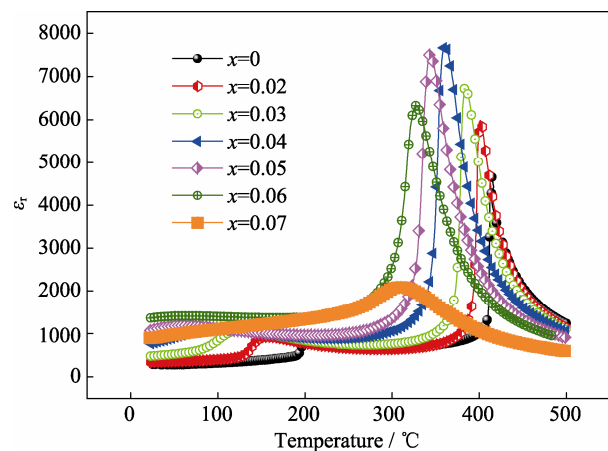
图2(a)~(d)分别是(1-x)KNN-xBNNLZ陶瓷在x=0, 0.03, 0.06, 0.07时的SEM照片。从图2(a)~(c)可以看出陶瓷晶粒呈现出大、小两种状态，分散在

图 1 $(1-x)KNN-xBNNLZ$ 陶瓷的 XRD 图谱Fig. 1 XRD patterns of $(1-x)$ KNN- x BNNLZ ceramics图 2 $(1-x)KNN-xBNNLZ$ 陶瓷的 SEM 照片Fig. 2 SEM images of $(1-x)$ KNN- x BNNLZ ceramics
(a) $x=0$; (b) $x=0.03$; (c) $x=0.06$; (d) $x=0.07$

整个陶瓷中, 小晶粒分布在大晶粒周围。纯 KNN 陶瓷存在明显的孔洞, 致密度不高; 随着 BNNLZ 掺杂量的增加, 个别晶粒异常长大, 而大部分晶粒进一步细化, 陶瓷中细小晶粒填补了大晶粒周围的孔洞, 陶瓷致密度越来越高, 这将对陶瓷电学性能产生积极的影响。当 BNNLZ 含量达到 0.07 时, 如图 2(d)所示, 晶粒尺寸急剧下降, 陶瓷中存在大量的毛孔, 大大恶化了陶瓷性能。这可能是由于 BNNLZ 含量过多, Zr^{4+} 、 Bi^{3+} 和 Nd^{3+} 等离子不能完全进入晶格, 富余的离子只能富集在晶界处, 导致陶瓷晶粒尺寸的急剧下降, 也有文献报道 Zr^{4+} 、 Bi^{3+} 的过量会抑制晶粒的生长^[19-20]。

2.2 介电性能

$(1-x)KNN-xBNNLZ$ 陶瓷在 10 kHz 测试频率下测得的室温至 500℃ 范围内的介温曲线如图 3 所示, 从图中分别读出各组分曲线的最大介电常数对应的

图 3 $(1-x)KNN-xBNNLZ$ 陶瓷在 10 kHz 下测得的介温曲线Fig. 3 Temperature dependence of the dielectric constant (ϵ_r) of $(1-x)$ KNN- x BNNLZ ceramics measured at 10 kHz

温度, 就得到各组分的居里温度 T_C 。此外, 对于 $x=0.03, 0.05, 0.06, 0.07$ 的陶瓷组分样品, 实验还测试了它们在 -150~250℃ 温度范围内的低温电容曲线, 如图 4 所示, 从中可以观察铁电相变温度随 BNNLZ 含量改变的演变情况。

随着 BNNLZ 不断掺入, KNN 陶瓷的 T_C 逐渐降低, 从最高 413℃($x=0.00$)降低至最低 309℃($x=0.07$), 但整体上均较高($T_C>300^\circ\text{C}$), 同时也看到 T_{R-O} 不断升高, 而 T_{O-T} 逐渐降低, 室温区附近 O 相范围不断被压缩, 当 $x=0.06$ 时, T_{R-O} 和 T_{O-T} 均被调至室温附近, 在陶瓷中形成了 R-T 共存相, $T_{R-T}=52^\circ\text{C}$; 当 $x=0.07$ 时, 图 4 的电容曲线变得弥散, 介电峰几乎看不见, 这是由于晶粒的严重细化导致 R-T 相界被压制所致^[28]。

综上, 结合 XRD 图谱和介温曲线图, 可以确定随着 BNNLZ 掺杂量的增加, 在室温附近, KNN 陶瓷的相结构依次经历了如下变化: $x<0.03$ 时, 以 O 相为主导; $0.03\leq x\leq 0.05$ 时, 为 O-T 共存相; $0.05<x\leq 0.07$ 时, 为 R-T 共存相, 且当 $x=0.07$ 时, 为压制的 R-T 相。

图 5 为 $(1-x)KNN-xBNNLZ$ 陶瓷不同组分在 100 kHz 频率下测得的室温介电常数(ϵ_r)和介电损耗($\tan\delta$), 从图中可看出所有掺杂陶瓷的 ϵ_r 值均高于纯 KNN 的 ϵ_r 值, 随着 BNNLZ 含量的增加, ϵ_r 先增大后减小, 在 $x=0.06$ 处达到最大($\epsilon_r=1353$)。 ϵ_r 随 BNNLZ 掺杂含量的变化规律与陶瓷相结构的变化有很大关系^[20], 当相界逐渐靠近室温时, ϵ_r 会不断增大; 反之当相界偏离室温时, ϵ_r 开始减小。掺杂陶瓷的 $\tan\delta$ 值均低于纯 KNN 的 $\tan\delta$ 值, 并随着 BNNLZ 含量的增加而小幅变化, $x=0.06$ 时, $\tan\delta=2.5\%$ 。

2.3 铁电性能

图 6(a)是 $(1-x)KNN-xBNNLZ$ 陶瓷的室温电滞回线, 图 6(b)是根据电滞回线得到的剩余极化强度

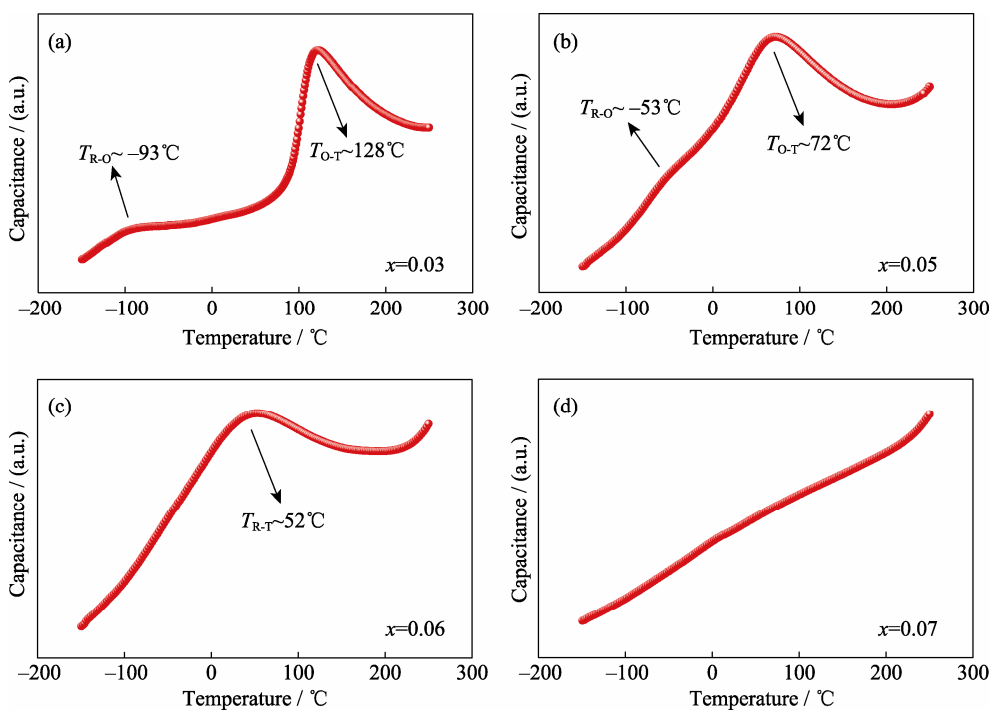


图4 (1-x)KNN-xBNNLZ 陶瓷在 100 kHz 下测得的低温电容曲线
Fig. 4 Capacitance of (1-x) KNN-xBNNLZ ceramics with different content ((a) 0.03; (b) 0.05; (c) 0.06; (d) 0.07) from -150-220°C measured at 100 kHz

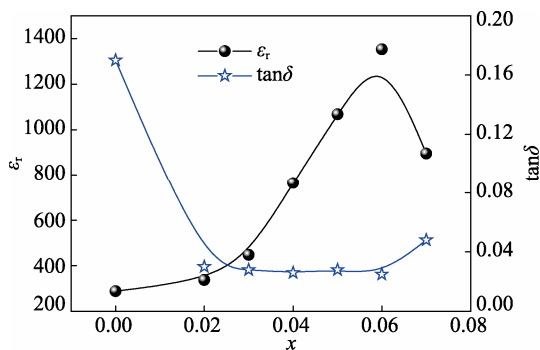


图5 100 kHz 下(1-x)KNN-xBNNLZ 陶瓷室温介电性能
Fig. 5 Room temperature value of ϵ_r and $\tan\delta$ of (1-x) KNN-xBNNLZ ceramics measured at 100 kHz

(P_r)和矫顽场(E_c)随组分的变化关系。图6(a)中所有陶瓷样品均呈现出正常铁电体的电滞回线,从图6(b)中可看出,和未掺杂的KNN样品相比,BNNLZ的加入增大了样品的矫顽场。根据对相结构分析的结果,随着BNNLZ的加入,陶瓷相结构从O相过渡到O-T共存相,再到R-T共存相,最后成为被压制的R-T相,相对应的剩余极化强度为:O相时 $P_r < 18.35 \mu\text{C}/\text{cm}^2$,O-T共存时 $20.48 \mu\text{C}/\text{cm}^2 < P_r < 24.98 \mu\text{C}/\text{cm}^2$,R-T共存时 $P_r = 25.48 \mu\text{C}/\text{cm}^2 (x=0.06)$,当R-T相被压制时 $P_r = 15.50 \mu\text{C}/\text{cm}^2 (x=0.07)$ 。以上数据说明,相结构的共存状态对陶瓷的铁电性能也有积极的影响,这是因为与单相(R、O或T)相比,铁电相的多相(R-O、O-T或R-T)共存状态增加了陶瓷相界区域内可能的自发极化方向,使得铁电畴沿外电场方向的反转变得更加容易^[19,21,23-26]。

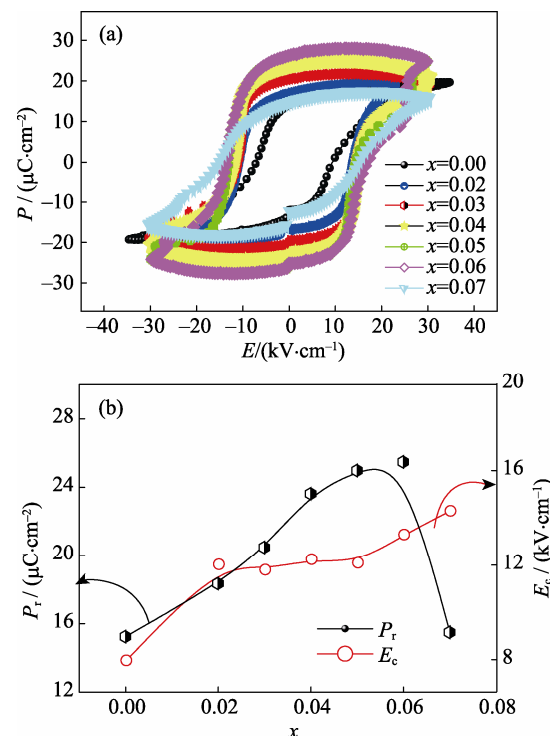


图6 (1-x)KNN-xBNNLZ 陶瓷的电滞回线(a), P_r 和 E_c 随 x 的变化(b)
Fig. 6 (a) P-E hysteresis and (b) remnant polarization P_r and coercive field E_c of (1-x) KNN-xBNNLZ ceramics

2.4 压电性能

图7(a)为(1-x)KNN-xBNNLZ陶瓷的压电常数(d_{33})和平面机电耦合系数(k_p)与陶瓷组分的关系,从图中可以看出,纯KNN陶瓷由于在室温下处于单

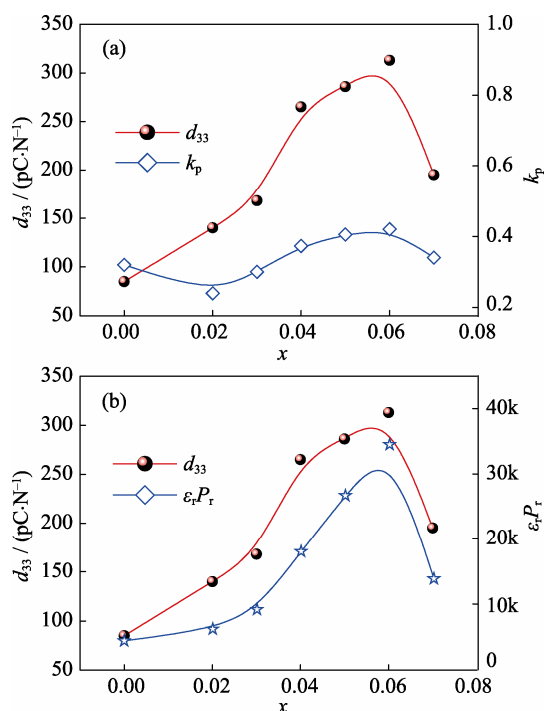


图 7 $(1-x)KNN-xBNNLZ$ 陶瓷压电性能(a)和 d_{33} 、 $\epsilon_r P_r$ 随 x 的变化关系(b)

Fig. 7 (a) Piezoelectric properties and (b) the d_{33} and $\epsilon_r P_r$ values of $(1-x) KNN-xBNNLZ$ ceramics as a function of x

一正交相且致密度较差, 因而 d_{33} 仅为 85 pC/N。随着 BNNLZ 掺入量的增加, d_{33} 逐渐增大, 达到最大值后又开始减小。这是因为掺入 BNNLZ 导致陶瓷相变, 相变过程中形成了多相共存区, 而在多相共存区陶瓷可能的自发极化方向增多, 所以导致了 d_{33} 的增大^[19,21,23-26]。当 $x=0.06$ 时, T_{R-O} 和 T_{O-T} 均被调至室温附近, 在陶瓷中构建了 R-T 共存相, 故此时 d_{33} 达到最大值(313 pC/N)。此后随着 BNNLZ 掺入量的增加, 陶瓷晶粒过度细化, 压电性能下降, d_{33} 迅速降低。平面机电耦合系数(k_p)与 BNNLZ 含量的关系与 d_{33} 随 BNNLZ 含量变化的情况总体上一致, 当 $x=0.06$ 时达到最大值(42%)。据报道^[7,13,28-30], d_{33} 正比于 $\epsilon_r P_r$, 因此根据电滞回线数据和室温介电、铁电数据作出图 7(b)以作对比。从图 7(b)可以看出随着 BNNLZ 含量的变化, d_{33} 和 $\epsilon_r P_r$ 的变化规律大致相同, 都在 $x=0.06$ 处达到最佳值, 说明较大的 ϵ_r 和 P_r 有利于 d_{33} 的提高。

由于最优组分 0.94KNN-0.06BNNLZ 陶瓷体系仍然具有较高的居里温度(327°C), 为了更好地了解该陶瓷体系的热稳定性, 对该陶瓷组分进行退极化处理。将极化好的陶瓷片在马弗炉中以 $3^\circ\text{C}/\text{min}$ 的升温速率从室温升到目标温度, 保温 30 min 后测量其压电性能。结果表明, 其压电系数 d_{33} 随退火温度的上升而缓慢降低, 当退火温度达到 285°C 时, 其 d_{33} 依然能保持在 261 pC/N(参见图 8), 为最大

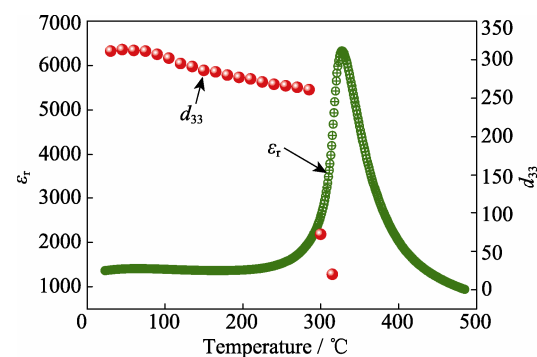


图 8 0.94KNN-0.06BNNLZ 陶瓷的压电性能随退火温度的变化

Fig. 8 Piezoelectric properties of the 0.94KNN-0.06BNNLZ ceramics as a function of annealing temperature

压电常数 d_{33} 的 83.4%, 说明该材料具有较好的温度稳定性, 其应用温度范围较为宽广。继续升高退火温度, 由于温度已接近陶瓷的居里温度, 压电性能迅速降低。

3 结论

用传统固相法制备了 $(1-x)KNN-xBNNLZ$ ($x=0, 0.02, 0.03, 0.04, 0.05, 0.06, 0.07$) 陶瓷。通过调控 BNNLZ 的含量, 在陶瓷中构建出了 R-T 共存相, 大大提升陶瓷的压电性能。研究表明, 所有陶瓷样品的居里温度均较高($T_C > 300^\circ\text{C}$), 随着 BNNLZ 掺杂量的增加, 在室温附近, 陶瓷的相结构依次经历了从 O 相、O-T 共存相到 R-T 共存相的演变过程, R-T 共存相处于 $0.05 < x < 0.07$ 区间。随着 BNNLZ 掺杂量的增加, 陶瓷中相界的演化改变导致了 d_{33} 、 ϵ_r 、 P_r 、 k_p 都先增大后减小。当 $x=0.06$ 时陶瓷的最佳压电性能为: $d_{33}=313$ pC/N, $k_p=42\%$, $P_r=25.48 \mu\text{C}/\text{cm}^2$, $\epsilon_r=1353$, $\tan\delta=2.5\%$, $T_C=327^\circ\text{C}$ 。

参考文献:

- [1] WANG KE, SHEN ZONG-YANG, ZHANG BO-PING, et al. $(K,\text{Na})\text{NbO}_3$ -based lead-free piezoceramics: status, prospects and challenges. *Journal of Inorganic Materials*, 2014, **29**(1): 13–22.
- [2] LI J F, WANG K, ZHU F Y, et al. $(K,\text{Na})\text{NbO}_3$ -based lead-free piezoceramics: fundamental aspects, processing technologies, and remaining challenges. *J. Am. Ceram. Soc.*, 2013, **96**(12): 3677–3696.
- [3] RÖDEL J, JO W, SEIFERT K T P, et al. Perspective on the development of lead-free piezoceramics. *J. Am. Ceram. Soc.*, 2009, **92**(6): 1153–1177.
- [4] WU J G, XIAO D Q, ZHU J G. Potassium-sodium niobate lead-free piezoelectric materials: past, present, and future of phase boundaries. *Chem. Rev.*, 2015, **115**(7): 2559–2595.
- [5] LI Z F, LI Y X, ZHAI J W. Grain growth and piezoelectric property of KNN-based lead-free ceramics. *Curr. Appl. Phys.*, 2011, **11**(3): S2–S13.

- [6] LU Y Q, LI Y X. A review on lead-free piezoelectric ceramics studies in China. *J. Adv. Dielect.*, 2011, **1**(3): 269–288.
- [7] HAO H F, TAN G Q, REN H J, et al. Hydrothermal-assisted synthesis and sintering of $K_{0.5}Na_{0.5}NbO_3-xLiTaO_3$ lead-free piezoelectric ceramics. *Ceram. Int.*, 2014, **40**(7): 9485–9491.
- [8] HUANG Y Q, DU H W, FENG W, et al. Influence of $SrZrO_3$ addition on structural and electrical properties of $(K_{0.45}Na_{0.5})Li_{0.04}(Nb_{0.90}Ta_{0.04}Sb_{0.06})O_3$ lead-free piezoelectric ceramics. *J. Alloys Compd.*, 2014, **590**(25): 435–439.
- [9] WANG H, WU J G, CHENG X J, et al. New phase boundary and piezoelectric properties in $(K, Na)NbO_3$ based ceramics. *J. Alloys Compd.*, 2014, **585**(5): 748–752.
- [10] JIANG M H, LIU X Y, CHEN G H. Phase structures and electrical properties of new lead-free $Na_{0.5}K_{0.5}NbO_3-LiSbO_3-BiFeO_3$ ceramics. *Scripta Mater.*, 2009, **60**(10): 909–912.
- [11] WANG Z, WU J G, XIAO M, et al. Phase transition and electrical properties of $(1-x)K_{0.5}Na_{0.5}NbO_3-xBi_{0.5}Na_{0.5}Zr_{0.8}Ti_{0.2}O_3$ lead-free piezoceramics. *Ceram. Int.*, 2014, **40**(7): 9165–9169.
- [12] WONGSAENMAI S, ANANTA S, YIMNIRUN R. Effect of Li addition on phase formation behavior and electrical properties of $(K_{0.5}Na_{0.5})NbO_3$ lead free ceramics. *Ceram. Int.*, 2012, **38**(1): 147–152.
- [13] LIANG W F, WU W J, XIAO D Q, et al. Construction of new morphotropic phase boundary in $0.94(K_{0.4-x}Na_{0.6}Ba_xNb_{1-x}Zr_x)O_3-0.06-LiSbO_3$ lead-free piezoelectric ceramics. *J. Mater. Sci.*, 2011, **46**(21): 6871–6876.
- [14] ZHANG B Y, WU J G, WANG X P, et al. Rhombohedral-orthorhombic phase coexistence and electrical properties of Ta and $BaZrO_3$ co-modified $(K, Na)NbO_3$ lead-free ceramics. *Curr. Appl. Phys.*, 2013, **13**(8): 1647–1650.
- [15] ZHANG B Y, WANG X P, CHENG X J, et al. Enhanced d_{33} value in $(1-x)[(K_{0.50}Na_{0.50})_{0.97}Li_{0.03}Nb_{0.97}Sb_{0.03}O_3]-xBaZrO_3$ lead-free ceramics with an orthorhombic-rhombohedral phase boundary. *J. Alloys Compd.*, 2013, **581**(25): 446–451.
- [16] WU W J, CHEN M, DING Y C, et al. Phase structure and electrical properties of Yb and Mn co-substituted $(K_{0.48}Na_{0.52})NbO_3$ lead-free piezoelectric ceramics. *J. Alloys Compd.*, 2014, **588**(5): 496–501.
- [17] ZUO R Z, FU J. Rhombohedral-tetragonal phase coexistence and piezoelectric properties of $(NaK)(NbSb)O_3-LiTaO_3-BaZrO_3$ lead-free ceramics. *J. Am. Ceram. Soc.*, 2011, **94**(5): 1467–1470.
- [18] LIANG W F, WANG Z, XIAO D Q, et al. Effect of new phase boundary on the dielectric and piezoelectric properties of $K_{0.5}Na_{0.5}NbO_3-xBaZrO_3-yBi_{0.5}Na_{0.5}TiO_3$ lead-free ceramics. *Integrated Ferroelectronics*, 2012, **139**(1): 63–74.
- [19] CHENG X J, WU J G, WANG X P, et al. Lead-free piezoelectric ceramics based on $(0.97-x)K_{0.48}Na_{0.52}NbO_3-0.03Bi_{0.5}(Na_{0.7}K_{0.2}Li_{0.1})_{0.5}ZrO_3-xBi_{0.5}Na_{0.5}TiO_3$ ternary system. *J. Appl. Phys.*, 2013, **114**(12): 124107–1–7.
- [20] CHENG X J, WU J G, WANG X P, et al. Giant d_{33} in $(K, Na)(Nb, Sb)O_3-(Bi, Na, K, Li)ZrO_3$ based lead-free piezoelectrics with high T_c . *Appl. Phys. Lett.*, 2013, **103**(5): 052906–1–5.
- [21] WU J G, XIAO J Q, ZHENG T, et al. Giant piezoelectricity of $(K, Na)(Nb, Sb)O_3-(Bi, Na, K, Pb)ZrO_3$ ceramics with rhombohedral-tetragonal (R-T) phase boundary. *Scripta Mater.*, 2014, **88**(1): 41–44.
- [22] WU J G, WANG X P, CHENG X J, et al. New potassium-sodium niobate lead-free piezoceramic: giant- d_{33} vs sintering temperature. *J. Appl. Phys.*, 2014, **115**(11): 114104–1–8.
- [23] ZHENG T, WU J G, CHENG X J, et al. Wide phase boundary zone, piezoelectric properties, and stability in $0.97(K_{0.4}Na_{0.6})-(Nb_{1-x}Sb_x)O_3-0.03Bi_{0.5}Li_{0.5}ZrO_3$ lead-free ceramics. *Dalton Trans.*, 2014, **43**(25): 9419–9426.
- [24] ZHENG T, WU J G, CHENG X J, et al. New potassium-sodium niobate material system: a giant- d_{33} and high- $T_c(C)$ lead-free piezoelectric. *Dalton Trans.*, 2014, **43**(30): 11759–11766.
- [25] CHENG X J, WU J G, ZHENG T, et al. Rhombohedral-tetragonal phase coexistence and piezoelectric properties based on potassium-sodium niobate ternary system. *J. Alloys Compd.*, 2014, **610**(15): 86–91.
- [26] CHENG X J, WU J G, LOU X J, et al. Achieving both giant d_{33} and high T_c in potassium-sodium niobate ternary system. *ACS Appl. Mater. Interfaces*, 2014, **6**(2): 750–756.
- [27] WANG X P, WU J G, XIAO D Q, et al. New potassium-sodium niobate ceramics with a giant d_{33} . *ACS Appl. Mater. Interfaces*, 2014, **6**(9): 6177–6180.
- [28] WANG X P, WU J G, XIAO D Q, et al. Giant piezoelectricity in potassium-sodium niobate lead-free ceramics. *J. Am. Chem. Soc.*, 2014, **136**(7): 2905–2910.
- [29] WANG X P, WU J G, XIAO D Q, et al. Large d_{33} in $(K, Na)(Nb, Ta, Sb)O_3-(Bi, Na, K)ZrO_3$ lead-free ceramics. *J. Mater. Chem. A*, 2014, **2**(12): 4122–4126.
- [30] ZHENG T, WU J G, XIAO D Q, et al. Giant d_{33} in non-stoichiometric $(K, Na)NbO_3$ -based lead-free ceramics. *Scripta Mater.*, 2015, **94**(1): 25–27.
- [31] BATHELT R, SOLLE R, BENKERT K, et al. Neodymium doping of KNLT. *J. Eur. Ceram. Soc.*, 2012, **32**(14): 3767–3772.